

Program za projektiranje ventilacijskih instalacija metodom povrata statičkog tlaka

**Gojko Magazinović, dipl. inž.,
Brodograđevna industrija »Split«,
RO »Institut«, 58000 Split, Put udarnika 19**

Članak sadrži prikaz postupka proračuna ventilacionih instalacija metodom povrata statičkog pritiska. Osim toga, prikazuje dva programa za džepne računare »Hewlett-Packard 67». Programi, zasnovani na predloženom postupku, namenjeni su projektovanju ventilacionih instalacija okruglog i pravougljog poprečnog preseka. Na kraju teksta je izložen primer jednog proračuna.

Uvod

Složenije ventilacijske i klimatizacijske instalacije postavljaju visoke zahtjeve u pogledu točnosti proračuna i preciznosti izvedbe, što se posebno iskaže na visokotlačnim postrojenjima. Dimenzioniranje metodom povrata statičkoga tlaka omogućuje projektiranje konstrukcijski tlačno uravnoteženih instalacija, te instalacija čiji je statički tlak ventilatora manji, a time i troškovi energije.

Metoda povrata statičkoga tlaka zasniva se na principu takvog dimenzionisanja kanalskih elemenata, da porast statičkoga tlaka uslijed smanjenja brzine strujanja upravo nadoknađuje gubitke strujanja u dimenzioniranoj dionici. Time se postižu jednakim statičkim tlakovima ispred svakoga izlaznog elementa, ili odvojka.

Postoji više pristupa [1 do 5] dimenzioniranju ventilacijskih instalacija metodom povrata statičkoga tlaka. Postupak opisan u [1] je jedan od najjednostavnijih i najboljih. Proračun se vrši pomoću dijagrama, iz čega proizlazi i glavna poteškoća: ponekad je očitavanje otežano zbog velikog broja krivulja. Laux [2] je razvio analitički postupak koji se provodi ispunjavanjem tablica. U slučaju lošega pretpostavljanja brzine u zadnjoj dionici (prvoj u proračunu), čitav proračun se mora ponoviti. Postupak naveden u [3] izvodi se pogadanjem uz pomoć jednoga dijagrama. U slučaju pogrešnoga pretpostavljanja promjera dionice, postupak treba ponoviti. Stanković [4] je izradio računarski program zasnovan

na principima iz [3], kojim je projektant oslobođen uzastopnoga »pogađanja«. Program, izrađen za računalo TI-59, omogućuje proračun elemenata okrugloga poprečnog presjeka. Pri proračunu pada tlaka nije uzet u obzir povrat statičkoga tlaka, te je proračunski statički tlak ventilatora veći od potrebnoga. Postupak naveden u [5] se, za razliku od ranije opisanih, zasniva na principu nadoknadivanja izgubljenoga statičkoga tlaka u prethodnoj dionici, zbog čega je jednostavniji i brži. Izvodi se pomoću dijagrama. Na hidrauličnim nesimetričnim instalacijama ovaj postupak daje različite statičke tlakove na odvojcima, odnosno izlaznim elementima.

U ovom radu dam je još jedan pristup proračunu ventilacijskih instalacija, metodom povrata statičkoga tlaka pomoću računala. Osnovna obilježja ovoga postupka su da se smanjenje dinamičkoga tlaka koristi ne samo za nadoknadivanje gubitaka trenja, već i za nadoknadavanje lokalnih otpora, te da se pri proračunu ne koristi stalna vrijednost faktora povrata statičkoga tlaka, već se za svaki slučaj ova vrijednost aproksimira iz podataka navedenih u [6]. Za izloženi postupak dana su dva računarska programa za džepna računala »Hewlett-Packard 67« (jedan za okrugle, a drugi za pravokutne poprečne presjeke kanalskih elemenata), kojima se projektant oslobođa dugotrajnoga i zamornoga računanja. Postupak proračuna i rad programa prikazani su na primjeru.

Metoda povrata statičkog tlaka

Osnovne jednadžbe

Glavni cilj projektiranja ventilacijskih instalacija metodom povrata statičkoga tlaka je da se dimenzioniranjem kanalskih elemenata ostvare jednakim statičkim tlakovima ispred svakog odvojka i izlaznog elementa, te da se time postigne konstrukcijski tlačno uravnotežena instalacija.

Ovaj cilj može se ostvariti takvim dimenzioniranjem kanalskih elemenata na mjestima promjene presjeka, da porast statičkoga tlaka zbog smanjenja brzine strujanja, sa v_1 na v_2 bude jednak ukupnom padu tlaka u dimenzioniranoj dionici, odnosno da vrijedi:

$$c \cdot (v_1^2 - v_2^2) \cdot \frac{\rho}{2} = \\ = \left(\Sigma \xi_2 + \lambda_2 \cdot \frac{l_2}{d_2} \right) \cdot \frac{v_2^2}{2} \cdot \rho, \quad (1)$$

gdje je:

- c — faktor povrata statičkoga tlaka, odnosno faktor pretvorbe dinamičkog u statički tlak,
 v_1 — brzina strujanja u prethodnoj dionici, m/s,
 v_2 — brzina strujanja u dimenzioniranoj dionici, m/s,
 ρ — gustoća zraka, kg/m³,
 $\Sigma \xi_2$ — zbroj svih faktora lokalnih otpora u dimenzioniranoj dionici,
 λ_2 — faktor trenja u dimenzioniranoj dionici,
 l_2 — duljina dimenzionirane dionice, m,
 d_2 — promjer dimenzionirane dionice, m.

Tada je ukupna promjena statičkoga tlaka u dimenzioniranoj dionici jednaka nuli (slika 1a).

Izrazi U se promjer dionice funkcijom protoka i brzine:

$$d = \sqrt{\frac{4 \cdot Q}{\pi \cdot v}}, \quad (2)$$

gdje je Q — protok kroz dionicu, m³/s, a v — srednja brzina strujanja, m/s, te nazove li se razlika između lijeve i desne strane jednadžbe (1) funkcijom brzine v_2 , $F(v_2)$, ta jednadžba poprima oblik:

$$F(v_2) = c \cdot (v_1^2 - v_2^2) \cdot \frac{\rho}{2} - \\ - \left(\Sigma \xi_2 + \lambda_2 \cdot \frac{l_2}{\sqrt{\frac{4 \cdot Q_2}{\pi \cdot v_2}}} \right) \cdot \frac{v_2^2}{2} \cdot \rho = 0. \quad (3)$$

Iz jednadžbe (3) slijedi da se zadaća dimenzioniranja metodom povrata statičkoga tlaka svodi na određivanje takve brzine v_2 za koju će funkcija brzine $F(v_2)$ bili jednaka nuli (slika 2). Jednadžba (3) nema algebarskoga rješenja, te je treba riješiti nekim približnim postupkom, npr. postupkom uzastopnoga raspolavljanja [7].

Faktor povrata statičkoga tlaka

Faktor povrata statičkoga tlaka c , odnosno faktor pretvorbe dinamičkog u statički tlak, je

bezdimenzijska veličina definirana omjerom porasta statičkoga tlaka a njemu pripadajućeg smanjenja dinamičkoga tlaka struje zraka:

$$c = \frac{-\Delta p_s}{\Delta p_d} = \frac{p_{s2} - p_{sl}}{(v_1^2 - v_2^2) \cdot \frac{\rho}{2}}. \quad (4)$$

U radovima [1 do 5] se pri proračunima koriste konstantne vrijednosti faktora povrata statičkoga tlaka, iako se one mijenjaju u zavisnosti od omjera protoka Q_2/Q_1 . U radu [6] dani su rezultati mjerena faktora povrata statičkoga tlaka u zavisnosti od Q_2/Q_1 . Pretpostavi li se ista zavisnost i od v_2/v_1 (slučaj $A_1 = A_2$), vrijednosti faktora povrata statičkoga tlaka mogu se aproksimirati funkcijom:

$$c = c_a \cdot \left(\frac{v_2}{v_1} \right)^{c_b}, \quad (5)$$

gdje je $c_a = 1,04$, a $c_b = 0,198$.

Na slici 3. dan je usporedni prikaz funkcije aproksimacije i rezultata mjerena.

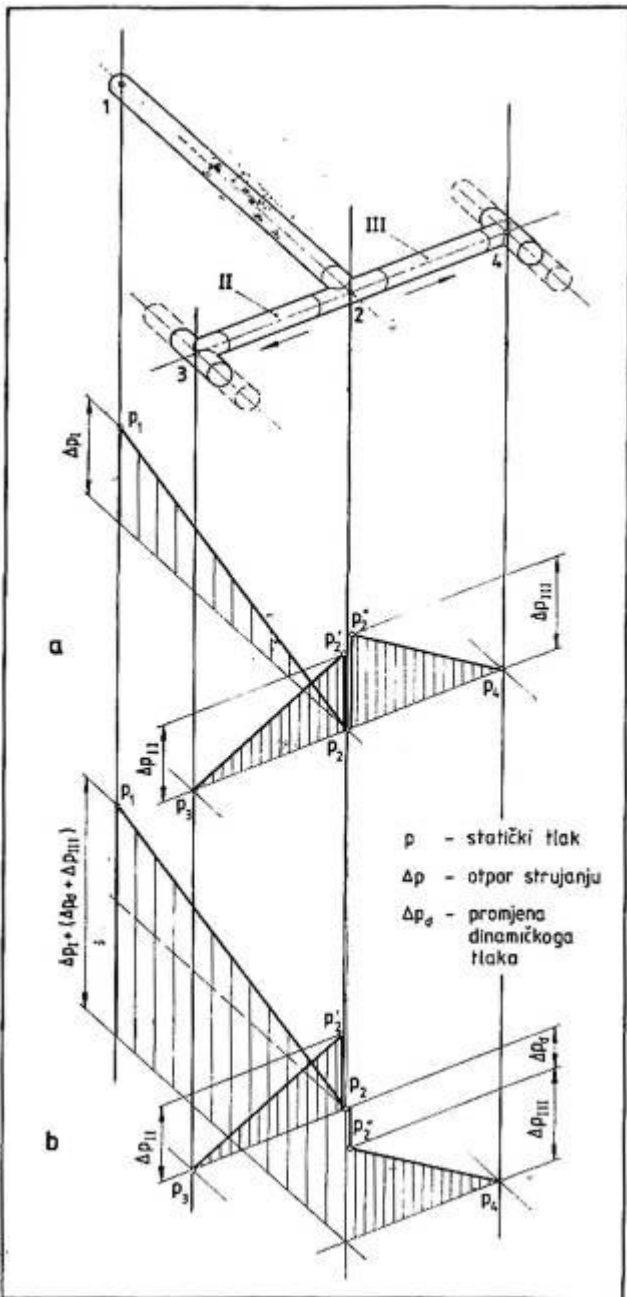
Postupak primjene

Prva dionica ventilacije dimenzionira se klasičnim načinom na osnovu protoka i željene brzine strujanja zraka. Sve ostale dionice se dimenzioniraju tako što se rješenjem jednadžbe (3) odredi idealna brzina v_2 , a na osnovu nje, odgovarajući idealni promjer. Naravno, u praksi će se rijetko dogoditi da idealni promjer bude jednak standardnom, te će usvajanjem standardnoga promjera doći do određenoga odstupanja od jednadžbe (3).

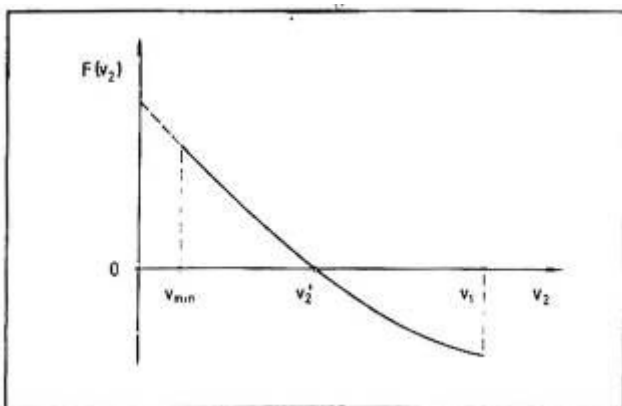
Izboram manjega promjera od idealnoga, stvarna brzina v_2 bit će veća od v_2' , a time i $F(v_2) < 0$ (slika 2). U tom slučaju je povrat statičkoga tlaka manji od gubitaka tlaka uslijed otpora strujanju. Obratno, izborom većega promjera, stvarna brzina bit će manja od idealne, a time i $F(v_2) > 0$. Tada je povrat statičkoga tlaka veći od gubitaka strujanja.

U slučaju da se raspoloživim dinamičkim tlakom (smanjenjem brzine do v_{min}) ne mogu nadoknaditi gubici strujanja, treba prići povećanju brzine po razdvajanju, čime će se povećati dinamički, ali i smanjiti statički tlak zraka (slika 1b). Tako dobijeni dinamički tlak moći će poslužiti za kasnija nadoknađivanja gubitaka strujanja. Jasno, ovim će porasti i ukupni tlak ventilatora, pa pri izboru povećanja brzine treba biti posebno pažljiv, kako bi se izbjeglo nepotrebno opterećivanje ventilatora. Povećanjem brzine u jednom ogranku, svi se prethodni ogranci dovode na viši

Sl. 1. Primjena principa povrata statičkoga tlaka



Sl. 2. Prikaz funkcije brzine $F(v)$



tlačni nivo (slika 1b), te je u cilju Uravnotežavanja instalacije, potrebno u njima ugraditi prigušne elemente.

Proračun padova tlaka

Pad tlaka u prvoj dionici ventilacijske instalacije određen je jednadžbom:

$$\Delta p_1 = \left(\sum \xi_1 + \lambda_1 \cdot \frac{v_1}{d_1} \right) \cdot \frac{v_1^2}{2} \cdot \rho . \quad (6)$$

Padovi tlaka u ostalim dionicama određeni su ovako:

$$\Delta p_n = \left(\sum \xi_n + \lambda_n \cdot \frac{v_n}{d_n} \right) \cdot \frac{v_n^2}{2} \cdot \rho - c \cdot (v_{n-1}^2 - v_n^2) \cdot \frac{\rho}{2}, \quad (7)$$

pri čemu indeksi n i $n-1$ imaju logički, a ne algebarski smisao. Ukupni statički tlak ventilatora tada je:

$$\Delta p_{uk} = \Delta p_1 + \sum \Delta p_n + \Delta p_i, \quad (8)$$

gdje je Δp_i — pad tlaka u izlaznom (indukcionom) uređaju, Pa.

Jednadžbom (8) treba obuhvatiti dionice »ma najnepovoljnijem putu«, odnosno one dionice u nizu, čiji je zbroj tlakova najveći.

Opis programa

Na osnovu izloženoga postupka je za džepno računalno »Hewlett-Packard 67« izrađen program za projektiranje ventilacijskih instalacija metodom povrata statičkoga tlaka. Cjelokupni program se sastoji iz tri dijela, od kojih svaki treba biti snimljen na svoju magnetsku karticu. Prvi dio je program za projektiranje »instalacija okrugloga poprečnog presjeka (tablica 1). Drugi dio je program za projektiranje instalacija pravokutnoga poprečnog presjeka (tablica 2), a treći, zajednički dio, predstavlja pomoćne podatke koje program koristi pri proračunima.

Određivanje brzine statičkoga povrata vrši se postupkom uzastopnoga raspolaživanja [7], s najvećim odstupanjem rezultata manjim od 0,1 m/s. Veća točnost programa za okrugle presjeke može se postići izmjenom programskega koraka br. 106 (105 za pravokutne presjeke). Na primjer, upisivanjem naredbe DSP 2 ograničava se najveće odstupanje na manje od 0,01 m/s. Zbog bržeg izvođenja iterativnoga postupka proračun Faktora trenja i faktora povrata statičkoga tlaka vrši se samo u prvoj iteraciji. Ispitivanjem na 660 uzoraka je utvrđeno da se time ostvaruje prosječna greška od svega 1,30%. Brisanjem programskega

koraka br. 97 (za okrugle presjeke), odnosno 96, za pravokutne presjeke, postiže se proračun c i u svakoj iteraciji. Jasno, time će vrijeme izvođenja programa biti dulje. Inače, bez gornjih izmjena, prosječno vrijeme cijelokupnoga proračuna jedne dionice je 58 s, što je za 40% kraće od programa iiz [4].

Okrugli presjeci

Za zadani protok kroz prvu dionicu i odabranu početnu brzinu, program određuje idealni promjer dionice. Ovaj promjer se zaokružuje na najbližu standardnu vrijednost, nakon čega program određuje površinu poprečnoga presjeka dionice, kao i stvarnu brzinu zraka u dionici. Po zadavanju duljine dionice i ukupnoga faktora lokalnih otpora, program određuje iznos faktora trenja i pad tlaka u dionici.

U ovom programu faktor trenja se određuje Pećornikovom jednadžbom [8]:

$$\lambda = \frac{0,25}{\log \left(\frac{15}{Re} + 0,269 \cdot \frac{k}{d} \right)^2}, \quad (9)$$

$$Re = \frac{v \cdot d}{\nu}, \quad (10)$$

gdje su:

k — apsolutna hrapavost stijenke kanala, m,

Re — Reynoldsova značajka,

v — kinematička viskoznost zraka, m^2/s

Kartica pomoćnih podataka sadrži vrijednosti za apsolutnu hrapavost ($k = 0,15 \text{ mm}$), gustoću ($\rho = 1,205 \text{ kg/m}^3$) i kinematičku viskoznost zraka ($v = 15,06 \cdot 10^{-6} \text{ m}^2/\text{s}$). Ove vrijednosti se, po potrebi, mogu mijenjati.

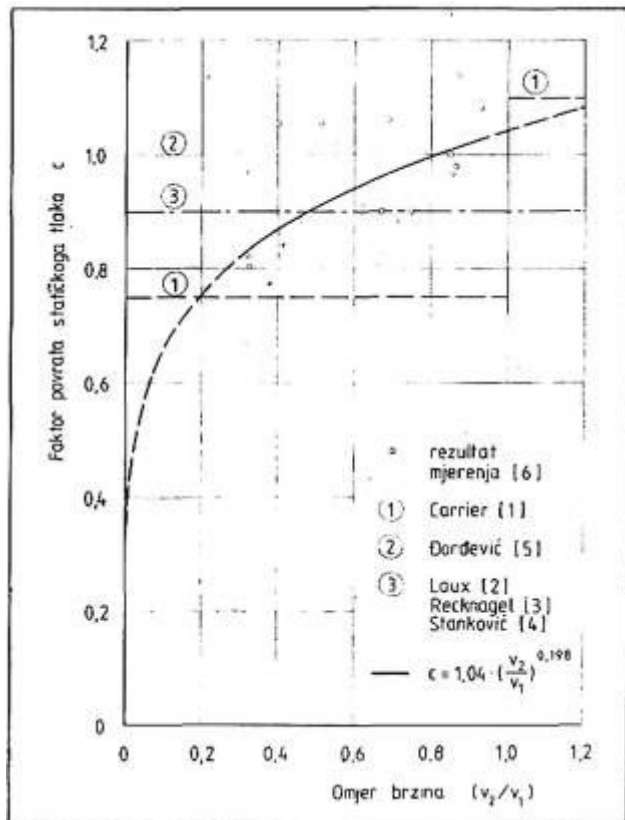
Po završenom proračunu prve, pristupa se proračunu ostalih dionica. Prethodno treba upisati iznos najmanje, granične, brzine strujanja V_{min} ispod koje se neće dimenzionirati ni jedna dionica, već će se prijeći na povećanje brzine strujanja. Po upisivanju brzine strujanja u prethodnoj dionici, te protoka, duljine i ukupnoga faktora lokalnih otpora dionice koja se dimenzionira, program određuje idealnu brzinu statičkoga povrata, te odgovarajući promjer dionice. Nakon izbora standardnoga promjera, program određuje površinu poprečnoga presjeka dionice, te stvarnu brzinu zraka. Potom se određuju faktori trenja i pad tlaka u dionici.

Pravokutni presjeci

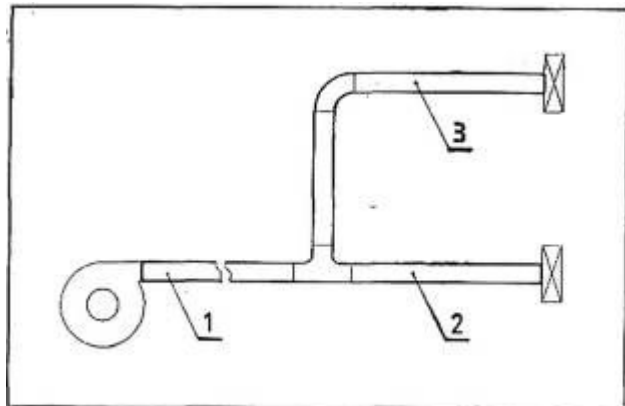
Za zadani protok kroz prvu dionicu i odabranu početnu brzinu, program određuje idealnu površinu poprečnoga presjeka dionice. Nakon upisivanja jedne dimenzije poprečnoga presjeka, program određuje drugu. Ovakvo određena dimenzija se zaokružuje na standardnu vrijednost,

Br.	Naredba	Br.	Naredba	Br.	Naredba	Br.	Naredba	Br.	Naredba	Br.	Naredba
001	*LBL 5	032	STO 0	063	1/X	094	P+S	125	X	156	Y*
002	STO 6	033	SPI	064	RCL 0	095	*S+B 4	126	DSP 1	157	RCL 8
003	X*Y	034	RCL 6	065	x	096	P+S	127	RTN	158	x
004	STO 8	035	P+S	066	STO 2	097	CPI	128	*LBL 3	159	P+S
005	X*Y	036	STO 2	067	DSP 2	098	X>0 ?	129	RCL 3	160	STO 0
006	RTN	037	RCL 0	068	RTN	099	GTO 3	130	STO 1	161	RCL 5
007	*LBL 2	038	STO 1	069	*LBL D	100	RCL 3	131	GTO 1	162	X=0 ?
008	STO 9	039	P+S	070	X*I	101	STD 2	132	*LBL 4	163	RTN
009	X*Y	040	GSB 4	071	PSE	102	*LBL 1	133	STO 2	164	RCL 2
010	STO 5	041	P+S	072	PSE	103	RCL 2	134	P1	165	RCL 3
011	X*Y	042	X>0 ?	073	X*I	104	RCL 1	135	x	166	x
012	RTN	043	GTO 0	074	RTN	105	-	136	1/X	167	RCL E
013	*LBL 1	044	P+S	075	*LBL E	106	DSP 1	137	RCL 0	168	*
014	P+S	045	CLX	076	SF2	107	RND	138	x	169	1/X
015	STO 0	046	RTN	077	GSB 5	108	X#0 ?	139	4	170	1
016	P+S	047	*LBL C	078	GSB 6	109	GTO 0	140	x	171	5
017	RTN	048	RCL 0	079	F0?	110	RCL 3	141	Y*	172	*
018	*LBL E	049	P	080	GSB 3	111	P+S	142	STO 3	173	RCL C
019	RCL 2	050	STO 3	081	F0?	112	DSP 2	143	F1?	174	RCL 3
020	*	051	X ²	082	-	113	R/S	144	GSB 5	175	*
021	RTN	052	P1	083	RCL 0	114	1/X	145	GSB 6	176	RCL 0
022	*LBL A	053	x	084	x	115	RCL 0	146	GSB 8	177	*
023	F0?	054	-	085	DSP 1	116	x	147	-	178	RCL 9
024	STO 2	055	P	086	RTN	117	*LBL 2	148	CHS	179	x
025	STO 0	056	STO 1	087	*LBL 0	118	STO 1	149	RTN	180	+
026	X*Y	057	RCL 1	088	RCL 4	119	4	150	*LBL 5	181	LOG
027	STO 0	058	X*Y	089	RCL 2	120	x	151	RCL 2	182	X ²
028	RCL 0	059	ZCH	090	+	121	P1	152	RCL 6	183	*
029	*	060	X*I	091	2	122	+	153	+	184	x
030	1,10 2	061	DSP 4	092	+	123	VX	154	P+S	185	1/X
031	*LBL B	062	R/S	093	STO 3	124	RCL 8	155	RCL 9	186	DSP 3

Tablica 1. Ispis programa za projektovanje ventilacijskih instalacija okrugloga poprečnog presjeka metodom povrata statičkoga tlaka



Sl. 3. Usporedba korištenih vrijednosti faktora povrata statičkoga tlaka s rezultatima mjerjenja



Sl. 4. Shema ventilacijske instalacije iz primjera proračuna, metodom povrata statičkoga tlaka. Dionica 1: $Q_1 = 400 \text{ m}^3/\text{h}$, $v_{1\text{c}} = 9 \text{ m/s}$, $t_1 = 10 \text{ m}$; dionica 2: $Q_2 = 200 \text{ m}^3/\text{h}$, $t_2 = 5 \text{ m}$, ξ odvojka = 0,15; dionica 3: $Q_3 = 200 \text{ m}^3/\text{h}$, $t_3 = 9 \text{ m}$, ξ odvojka = 1,5, ξ koljena = 0,25; pad tlaka izlaznoga uređaja $\Delta p_i = 150 \text{ Pa}$.

nakon čega program određuje stvarni iznos površine poprečnoga presjeka i stvarnu brzinu zraka u dionici. Po zadavanju duljine dionice i ukupnoga faktora lokalnih otpora, program određuje iznos faktora trenja i pad tlaka u dionici. Promjer dionice u jednakočvrstama (1), (6), (7), (9) i (10) tada je određen hidrauličkim promjerom:

$$d = \frac{2 \cdot b \cdot h}{b + h}, \quad (11)$$

gdje su b i h širina i visina pravokutnoga poprečnog presjeka.

Prije prelaska na proračun ostalih dionica, potrebno je upisati iznos najmanje, granične, brzine strujanja v_{\min} ispod koje se neće dimenzionirati ni jedna dionica, već će se prijeći na povećanje brzine strujanja. Po upisivanju brzine strujanja u prethodnoj dionici, te protoka, duljine, ukupnoga faktora lokalnih otpora i jedne dimenzije poprečnoga presjeka dionice koja se dimenzionira (najčešće jedna od dimenzija prethodne dionice), program određuje idealnu brzinu statičkoga povrata, te odgovarajuću drugu dimenziju poprečnoga presjeka. Po izboru standardne dimenzije, program određuje stvarnu površinu poprečnoga presjeka, te stvarnu brzinu zraka. Nakon toga se određuju faktori trenja i pad tlaka u dionici.

Sadržaji registara i kartice podataka

U tablici 3. dati su sadržaji pojedinih registara računala, kao i podaci pohranjeni na kartici podataka.

Upute za korištenje programa

Podaci	Tipke	Rezultati
--------	-------	-----------

1. Priprema proračuna: presnimiti sadržaje magnetske kartice izabranoga programa, te kartice podataka
2. Po izboru: unos podataka za hraptavost stijenke k , gustoću i kinematičku viskoznost zraka

$k (\text{mm})$	[STO]	[C]	$k (\text{mm})$
$\rho (\text{kg/m}^3)$	[STO]	[D]	$\rho (\text{kg/m})$
$v (\text{m}^2/\text{s})$	[STO]	[E]	$v (\text{m}^2/\text{s})$
3. Po izboru: pretvorba brojčanoga iznosa protoka

$Q (\text{m}^3/\text{h})$	[f]	[e]	$Q (\text{m}^3/\text{h})$
---------------------------	-----	-----	---------------------------

4. Dimenzioniranje prve dionice

4.1. Okrugli poprečni presjeci

$Q (\text{m}^3/\text{s})$	[ENTER]	$Q (\text{m}^3/\text{s})$
$v (\text{m/s})$	[A]	$A (\text{m}^2)$
	[R/S]	$d (\text{mm})$

4.2. Pravokutni poprečni presjeci

$Q (\text{m}^3/\text{s})$	[ENTER]	$Q (\text{m}^3/\text{s})$
$v (\text{m/s})$	[A]	$A (\text{m}^2)$
$b (\text{mm})$	[R/S]	$h (\text{mm})$

5. Unos najmanje, granične, brzine strujanja

$v_{\min} (\text{m/s})$	[f]	[c]	$v_{\min} (\text{m/s})$
-------------------------	-----	-----	-------------------------

Br.	Naredba										
001	*LBL a	033	DSP 4	065	x	097	X>0 ?	129	*LBL 4	161	x
002	STO 6	034	R/S	066	DSP 4	098	GTO 3	130	STO 2	162	RCL E
003	X#Y	035	RCL I	067	R/S	099	RCL 3	131	RCL 7	163	#
004	STO 0	036	#	068	1/X	100	STO 2	132	x	164	1/X
005	X#Y	037	STO 7	069	RCL 0	101	*LBL 1	133	1/X	165	1
006	RTN	038	GTO 2	070	x	102	RCL 2	134	RCL 0	166	5
007	*LBL b	039	*LBL B	071	STO 2	103	RCL 1	135	x	167	x
008	STO 4	040	RCL I	072	DSP 2	104	-	136	STO 8	168	RCL C
009	X#Y	041	#	073	RTN	105	DSP 1	137	GSB 9	169	RCL I
010	STO 5	042	STO 7	074	*LBL E	106	RND	138	F1?	170	#
011	X#Y	043	SF0	075	SF2	107	X#0 ?	139	GSB 5	171	RCL 3
012	RTN	044	SF1	076	GSB 5	108	GTO 0	140	GSB 6	172	#
013	*LBL c	045	RCL 6	077	GSB 6	109	RCL 3	141	GSB 8	173	RCL 9
014	P#S	046	P#S	078	F0?	110	P#S	142	-	174	x
015	STO 0	047	STO 2	079	GSB 8	111	DSP 2	143	CHS	175	#
016	P#S	048	RCL 0	080	F0?	112	R/S	144	RTN	176	LDG
017	RTN	049	STO 1	081	-	113	1/X	145	*LBL 5	177	X ²
018	*LBL e	050	P#S	082	RCL D	114	RCL 0	146	RCL 2	178	4
019	P#S	051	GSB 4	083	x	115	x	147	RCL 6	179	x
020	RCL 7	052	P#S	084	DSP 1	116	STO 1	148	#	180	1/X
021	P#S	053	X>0 ?	085	RTN	117	RCL 7	149	P#S	181	DSP 3
022	#	054	GTO 0	086	*LBL 0	118	*LBL 2	150	RCL 9	182	F2?
023	RTN	055	P#S	087	RCL 1	119	#	151	Y*	183	R/S
024	*LBL A	056	CLX	088	RCL 2	120	STO 8	152	RCL 8	184	STO A
025	CF0	057	RTN	089	+	121	RCL I	153	x	185	RTN
026	STO 2	058	*LBL C	090	2	122	x	154	P#S	186	*LBL 6
027	STO 6	059	RCL I	091	#	123	DSP 1	155	STO B	187	RCL 5
028	X#Y	060	#	092	STO 3	124	RTN	156	RCL 5	188	X=0 ?
029	STO 0	061	STO 8	093	P#S	125	*LBL 3	157	X=0 ?	189	GTO 7
030	RCL 2	062	GSB 9	094	GSB 4	126	RCL 3	158	RTN	190	RCL A
031	#	063	X#Y	095	P#S	127	STO 1	159	RCL 2	191	RCL 5
032	STO 1	064	RCL 7	096	CF1	128	GTO 1	160	RCL 3	192	x
											224 RTN

Tablica 2. Ispis programa za projektiranje ventilacijskih instalacija pravokutnoga poprečnog presjeka metodom povrata statičkoga tlaka

6. Dimenzioniranje ostalih dionica

6.1. Unos protoka kroz dimenzioniranu dionicu i brzine strujanja u prethodnoj dionici

Q (m ³ /s)	[ENTER]	Q (m ³ /s)
v _p (m/s)	[f]	v _p (m/s)

6.2. Unos podataka za duljinu i ukupni faktor lokalnih otpora dimenzionirane dionice

ι (m)	[ENTER]	ι (m)
$\Sigma \xi$	[f]	$\Sigma \xi$

6.3. Okrugli poprečni presjeci

[B]	v (m/s)
[R/S]	d (mm)

6.4. Pravokutni poprečni presjeci

b (mm)	[B]	v (m/s)
[R/S]		h (mm)

7. Mijenjanje dimenzija

7.1. Okrugli poprečni presjeci

d (mm)	[C]	A (m ²)
[R/S]		v (m/s)

7.2. Pravokutni poprečni presjeci

h (mm)	[C]	A (m ²)
[R/S]		v (m/s)

8. Po izboru: odstupanje usvojene od idealne površine poprečnoga presjeka (samo za okrugle presjekе)

[D] »ΔA« (%)

9. Proračun pada tlaka

[E]	λ
[R/S]	Δp (Pa)

Napomene:

1. Redoslijed izvođenja proračuna je proizvoljan (pojedini koraci se po želji mogu ponavljati), s tim što se mijenjanje dimenzija i proračun pada tlaka vrši po završenom dimenzioniranju dionice.
2. Rezultat proračuna brzine statičkoga povrata (korak br. 6.3 ili 6.4) jednak nuli (0,00) označava da je $v' < v_{min}$, te da mijenjanjem dimenzija (korak br. 7) treba povećati brzinu strujanja.

Primjer

Na slici 4. dana je shema tlačne ventilacijske instalacije za koju treba izvršiti dimenzioniranje elemenata, te odrediti statički tlak ventilatora. Elementi ventilacijske instalacije su pravokutnoga poprečnog presjeka, za čije dimenzije treba birati standardne duljine reda R 10 (JUS A.A0.010).

Podaci	Tipke	Rezultati
1. Proračun prve dionice		
$Q_1 = 400 \text{ m}^3/\text{h}$	[f] [e]	$Q_1 = 0,11 \text{ m}^3/\text{s}$
$v'_1 = 9 \text{ m/s}$	[A]	$A'_1 = 0,0123 \text{ m}^2$
$b_1 = 100 \text{ mm}$	[R/S]	$h'_1 = 123,5 \text{ mm}$
$h_1 = 125 \text{ mm}$	[C]	$A_1 = 0,0125 \text{ m}^2$
	[R/S]	$V_1 = 8,89 \text{ m/s}$
$t_1 = 10 \text{ m}$	[ENTER]	$t_1 = 10,00 \text{ m}$
$\xi_1 = 0$	[E] [b]	$\xi_1 = 0,00$
	[E]	$\lambda_1 = 0,024$
	[R/S]	$\Delta p_1 = 102,8 \text{ Pa}$
2. Proračun druge dionice		
$v_{\min} = 1 \text{ m/s}$	[f] [c]	$v_{\min} = 1,0 \text{ m/s}$
$Q_2 = 200 \text{ m}^3/\text{h}$	[f] [e]	$Q_2 = 0,1 \text{ m}^3/\text{s}$
$v_1 = 8,89 \text{ m/s}$	[f] [a]	$v_1 = 8,9 \text{ m/s}$
$t_2 = 5 \text{ m}$	[ENTER]	$t_2 = 5,0 \text{ m}$
$\xi_2 = 0,15$	[f] [b]	$\xi_2 = 0,2$
$b_2 = 100 \text{ mm}$	[B]	$v'_2 = 5,53 \text{ m/s}$
	[R/S]	$h'_2 = 100,5 \text{ mm}$
$h_2 = 100 \text{ mm}$	[C]	$A_2 = 0,0100 \text{ m}^2$
	[R/S]	$v_2 = 5,56 \text{ m/s}$
	[E]	$\lambda_2 = 0,026$
	[R/S]	$\Delta p_2 = -0,4 \text{ Pa}$
3. Proračun treće dionice		
$Q_3 = 200 \text{ m}^3$	[f] [e]	$Q_3 = 0,1 \text{ m}^3/\text{s}$
$V_1 = 8,89 \text{ m/s}$	[f] [a]	$v_1 = 8,9 \text{ m/s}$
$t_3 = 9 \text{ m}$	[ENTER]	$t_3 = 9,0 \text{ m}$
$\xi = 1,75$	[f] [b]	$\xi_3 = 1,8$
$b_3 = 100 \text{ mm}$	[B]	$v'_3 = 3,93 \text{ m/s}$
	[R/S]	$h'_3 = 141,4 \text{ mm}$
$h_3 = 125 \text{ mm}$	[C]	$A_3 = 0,0125 \text{ m}^2$
	[R/S]	$v_3 = 4,44 \text{ m/s}$
	[E]	$\lambda_3 = 0,026$
	[R/S]	$\Delta p_3 = 13,8 \text{ Pa}$
4. Razlika statičkih tlakova pred izlaznim uređajima ogranka 2. i 3. iznosi 14,2 Pa. Statički tlak ventilatora je:		
$\Delta p_{uk} = \Delta p_1 + \Delta P_3 + \Delta P_1 = 267 \text{ Pa.}$		

Tablica 3. Sadržaji registara i kartica podataka

Registar	Okrugli presjeci	Pravokutni presjeci	Kartica podataka
RO	Q_i	Q_i	—
R1	A_i	A_i	—
R2	V_i	V_i	—
R3	d_i	d_i	—
R4	ξ_i	ξ_i	—
R5	t_i	t_i	—
R6	v_p	v_p	—
R7	3600	b_i	3600
R8	1000	h_i	1000
R9	0,269	0,269	0,269
RSO	V_{\min}	V_{\min}	—
RS1	V_A	V_A	—
RS2	V_B	V_B	—
RS3	V_c	V_c	—
RS7	—	3600	3600
RS8	$c_a/2$	$c_a/2$	0,52
RS9	C_b	C_b	0,198
RA	λ	λ	—
RB	$c/2$	$c/2$	—
RC	k	k	0,15
RD	ρ	ρ	1,205
RE	v	v	$15,06 \cdot 10^{-6}$
RI	ΔA	1000	1000

Literatura

- [1] * * *: *Handbook of Air Conditioning System Design*, McGraw-Hill, New York, 1965.
- [2] LAUX, H.: *Kanalnetzberechnung fur Hochdruck-Klimaanlagen*, Gesundheits-Ingenieur 88 (1967) 1, 1—13.
- [3] RECKNAGEL-SPRENGER: *Grejanje i klimatizacija*, Građevinska knjiga, Beograd, 1984.
- [4] STANKOVIC, V.: *Primena mini računara u projektovanju*, Klimatizacija grejanje hlađenje 9(1980) 4, 41—46.
- [5] ĐORĐEVIĆ, A.: *Projektovanje klima-instalacija*, Tehnička knjiga, Beograd, 1967.
- [6] ASHLEY, C. M., S. F. GILMAN i R. A. CHURCH: *Branch Fitting Performance at High Velocity*, Heating, Piping and Air Conditioning (1955) 12, 117—122.
- [7] CARNAHAN, B., H. A. LUTHER i J. O. WOLKES: *Applied Numerical Methods*, John Wiley and Sons, New York, 1969.
- [8] PEĆORNİK, M.: *Tehnička mehanika fluida*, Školska knjiga, Zagreb, 1985.